

## 4.7 Simplificación de un sistema de fuerza y par

En ocasiones es conveniente reducir un sistema de fuerzas y momentos de par que actúan sobre un cuerpo a una forma más sencilla, lo cual se puede hacer si se reemplaza con un *sistema equivalente*, que conste de una sola fuerza resultante la cual actúe en un punto específico y un momento de par resultante. Un sistema es equivalente si los *efectos externos* que produce sobre un cuerpo son los mismos que los causados por el sistema original de fuerza y momento de par. En este contexto, los efectos externos de un sistema se refieren al *movimiento de traslación y rotación* del cuerpo si éste es libre de moverse, o se refiere a las *fuerzas reactivas* en los apoyos si el cuerpo se mantiene fijo.

Por ejemplo, considere que se sujeta la varilla de la figura 4-34a, la cual está sometida a la fuerza  $\mathbf{F}$  en el punto  $A$ . Si añadimos un par de fuerzas iguales pero opuestas  $\mathbf{F}$  y  $-\mathbf{F}$  en el punto  $B$ , que se encuentra sobre la línea de acción de  $\mathbf{F}$ , figura 4-34b, observamos que  $-\mathbf{F}$  en  $B$  y  $\mathbf{F}$  en  $A$  se cancelarán entre sí, y queda sólo  $\mathbf{F}$  en  $B$ , figura 4-34c. Ahora, la fuerza  $\mathbf{F}$  se ha movido desde  $A$  hasta  $B$  sin modificar sus *efectos externos* sobre la varilla; es decir, la reacción en el agarre permanece igual. Lo anterior demuestra el *principio de transmisibilidad*, el cual establece que una fuerza que actúa sobre un cuerpo (varilla) es un *vector deslizante* puesto que puede aplicarse sobre cualquier punto a lo largo de su línea de acción.

También podemos usar el procedimiento anterior para mover una fuerza hasta un punto que *no* está sobre la línea de acción de la fuerza. Si  $\mathbf{F}$  se aplica en forma perpendicular a la varilla, como en la figura 4-35a, podemos añadir un par de fuerzas iguales pero opuestas  $\mathbf{F}$  y  $-\mathbf{F}$  a  $B$ , figura 4-35b. Ahora la fuerza  $\mathbf{F}$  se aplica en  $B$ , y las otras dos fuerzas,  $\mathbf{F}$  en  $A$  y  $-\mathbf{F}$  en  $B$ , forman un par que produce el momento de par  $M = Fd$ , figura 4-35c. Por lo tanto, la fuerza  $\mathbf{F}$  puede moverse desde  $A$  hasta  $B$  siempre que se añada un momento de par  $\mathbf{M}$  para mantener un sistema equivalente. Este momento de par se determina al tomar el momento de  $\mathbf{F}$  con respecto a  $B$ . Como  $\mathbf{M}$  es en realidad un

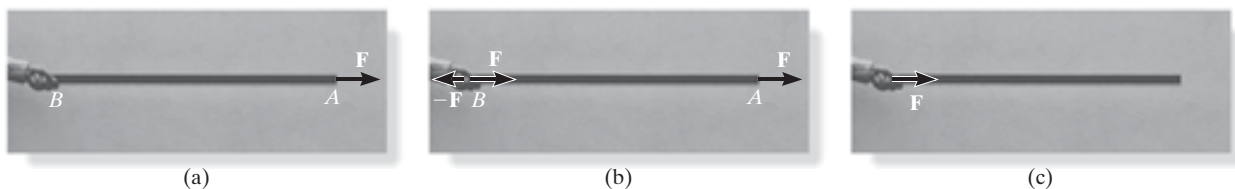


Fig. 4-34

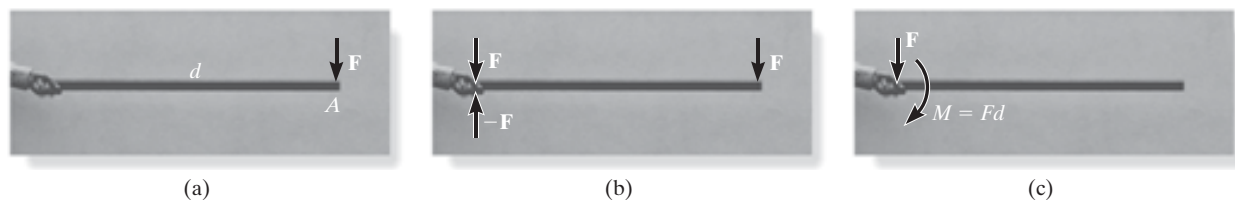


Fig. 4-35

*vector libre*, puede actuar en cualquier punto de la varilla. En ambos casos los sistemas son equivalentes, lo que produce una fuerza descendente  $\mathbf{F}$  y un momento de par  $M = Fd$  en el sentido de las manecillas del reloj, que se siente en el punto de sujeción.

**Sistema de fuerzas y momentos de par.** Por el método anterior, es posible reducir un sistema de varias fuerzas y momentos de par que actúan sobre un cuerpo a una sola fuerza resultante que actúa en el punto  $O$  y un momento de par resultante. Por ejemplo, en la figura 4-36a,  $O$  no está en la línea de acción de  $\mathbf{F}_1$ , por lo que la fuerza puede moverse al punto  $O$  siempre que se añada al cuerpo un momento de par  $\mathbf{M}_1 = \mathbf{r}_1 \times \mathbf{F}_1$ . Del mismo modo, el momento de par  $\mathbf{M}_2 = \mathbf{r}_2 \times \mathbf{F}_2$  debe agregarse al cuerpo cuando movemos  $\mathbf{F}_2$  al punto  $O$ . Por último, como el momento de par  $\mathbf{M}$  es un vector libre, se puede mover justo al punto  $O$ . Al hacer esto obtenemos el sistema equivalente que se muestra en la figura 4-36b, lo cual produce los mismos efectos externos (reacciones en los apoyos) sobre el cuerpo que el sistema de fuerza y par de la figura 4-36a. Si sumamos las fuerzas y los momentos de par, obtenemos la fuerza resultante  $\mathbf{F}_R = \mathbf{F}_1 + \mathbf{F}_2$  y el momento de par resultante  $(\mathbf{M}_R)_O = \mathbf{M} + \mathbf{M}_1 + \mathbf{M}_2$ , figura 4-36c.

Observe que  $\mathbf{F}_R$  es independiente de la ubicación del punto  $O$ ; sin embargo,  $(\mathbf{M}_R)_O$  depende de esta ubicación ya que los momentos  $\mathbf{M}_1$  y  $\mathbf{M}_2$  se determinan con los vectores de posición  $\mathbf{r}_1$  y  $\mathbf{r}_2$ . Observe también que  $(\mathbf{M}_R)_O$  es un vector libre y puede actuar en *cualquier punto* sobre el cuerpo, aunque por lo general el punto  $O$  se selecciona en su punto de aplicación.

El método anterior, para simplificar un sistema de fuerza y par a una fuerza resultante  $\mathbf{F}_R$  que actúe en el punto  $O$  y un momento de par resultante  $(\mathbf{M}_R)_O$ , puede generalizarse mediante la aplicación de las dos ecuaciones siguientes.

$$\begin{aligned} \mathbf{F}_R &= \Sigma \mathbf{F} \\ (\mathbf{M}_R)_O &= \Sigma \mathbf{M}_O + \Sigma \mathbf{M} \end{aligned} \quad (4-17)$$

La primera ecuación establece que la fuerza resultante del sistema es equivalente a la suma de todas las fuerzas; y la segunda ecuación establece que el momento de par resultante del sistema es equivalente a la suma de todos los momentos de par  $\Sigma \mathbf{M}$  más los momentos con respecto al punto  $O$  de todas las fuerzas  $\Sigma \mathbf{M}_O$ . Si el sistema de fuerzas se encuentra en el plano  $x$ - $y$  y cualesquier momentos de par son perpendiculares a este plano, entonces las ecuaciones anteriores se reducen a las siguientes tres ecuaciones escalares.

$$\begin{aligned} (F_R)_x &= \Sigma F_x \\ (F_R)_y &= \Sigma F_y \\ (M_R)_O &= \Sigma M_O + \Sigma M \end{aligned} \quad (4-18)$$

Aquí, la fuerza resultante se determina a partir de la suma vectorial de sus dos componentes  $(F_R)_x$  y  $(F_R)_y$ .

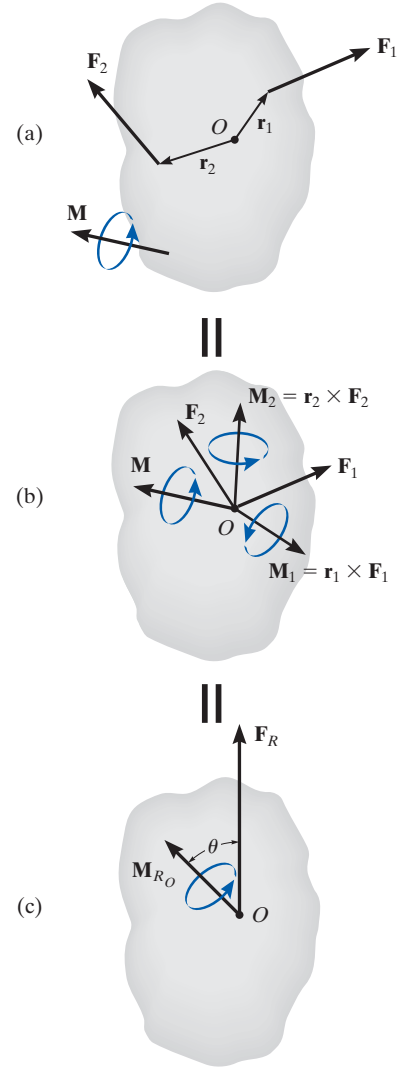
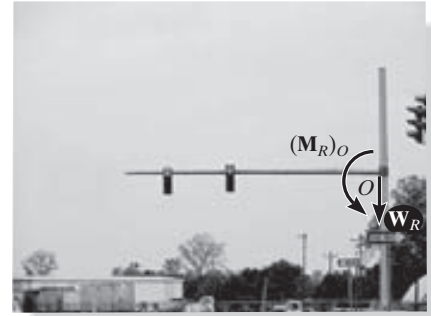
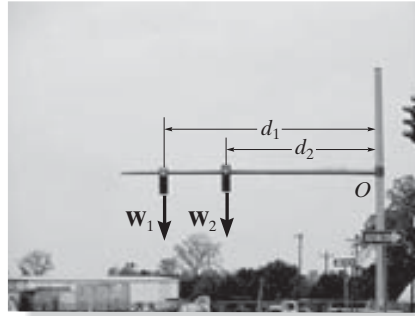


Fig. 4-36



Los pesos de estos semáforos pueden reemplazarse por su fuerza resultante equivalente  $W_R = W_1 + W_2$  y un momento de par  $(M_R)_O = W_1d_1 + W_2d_2$  en el apoyo  $O$ . En ambos casos el apoyo debe proporcionar la misma resistencia a la traslación y a la rotación a fin de mantener el elemento en la posición horizontal.

## Procedimiento para el análisis

Los siguientes puntos deberán tenerse presentes al simplificar un sistema de fuerza y momento de par a un sistema equivalente de fuerza resultante y par.

- Establezca los ejes coordenados con el origen localizado en el punto  $O$  donde los ejes tienen una orientación seleccionada.

### Suma de fuerzas.

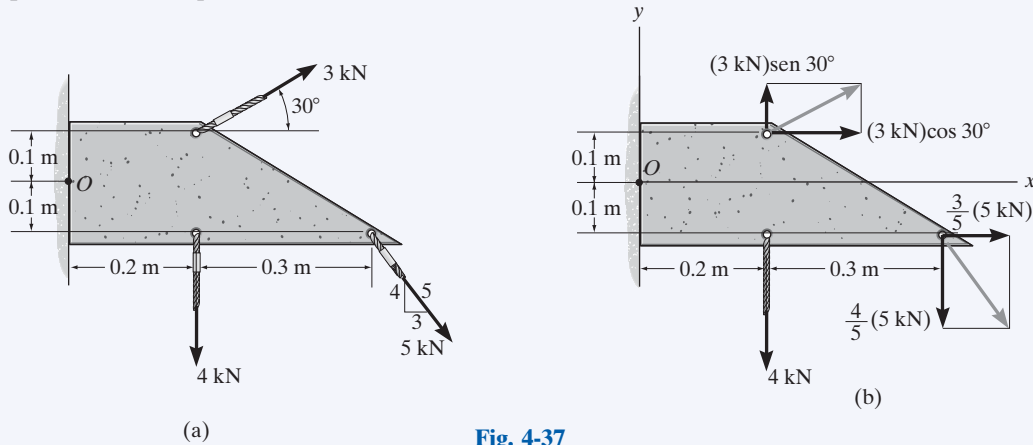
- Si el sistema de fuerzas es *coplanar*, descomponga cada fuerza en sus componentes  $x$  y  $y$ . Si una componente está dirigida a lo largo de los ejes  $x$  o  $y$  positivos, representa un escalar positivo; mientras que si está dirigida a lo largo de los ejes  $x$  o  $y$  negativos, es un escalar negativo.
- En tres dimensiones, represente cada fuerza como un vector cartesiano antes de sumar las fuerzas.

### Suma de momentos.

- Por lo general, al determinar los momentos de un sistema de fuerzas *coplanares* con respecto al punto  $O$ , es conveniente aplicar el principio de momentos, es decir, determinar los momentos de las componentes de cada fuerza en vez del momento de la fuerza en sí.
- En tres dimensiones, use el producto cruz vectorial para determinar el momento de cada fuerza con respecto al punto  $O$ . Aquí los vectores de posición se extienden desde el punto  $O$  hasta cualquier punto sobre la línea de acción de cada fuerza.

**EJEMPLO 4.14**

Reemplace el sistema de fuerza y par que se muestra en la figura 4-37a por una fuerza resultante equivalente y un momento de par que actúen en el punto  $O$ .

**Fig. 4-37****SOLUCIÓN**

**Suma de fuerzas.** Las fuerzas de 3 kN y 5 kN se descomponen en sus componentes  $x$  y  $y$  como se muestra en la figura 4-37b. Tenemos

$$\rightarrow (F_R)_x = \Sigma F_x; (F_R)_x = (3 \text{ kN})\cos 30^\circ + \left(\frac{3}{5}\right)(5 \text{ kN}) = 5.598 \text{ kN} \rightarrow$$

$$+\uparrow (F_R)_y = \Sigma F_y; (F_R)_y = (3 \text{ kN})\sin 30^\circ - \left(\frac{4}{5}\right)(5 \text{ kN}) - 4 \text{ kN} = -6.50 \text{ kN} = 6.50 \text{ kN} \downarrow$$

Con base en el teorema de Pitágoras, figura 4-37c, la magnitud de  $\mathbf{F}_R$  es

$$F_R = \sqrt{(F_R)_x^2 + (F_R)_y^2} = \sqrt{(5.598 \text{ kN})^2 + (6.50 \text{ kN})^2} = 8.58 \text{ kN} \quad \text{Resp.}$$

Su dirección  $\theta$  es

$$\theta = \tan^{-1}\left(\frac{(F_R)_y}{(F_R)_x}\right) = \tan^{-1}\left(\frac{6.50 \text{ kN}}{5.598 \text{ kN}}\right) = 49.3^\circ \quad \text{Resp.}$$

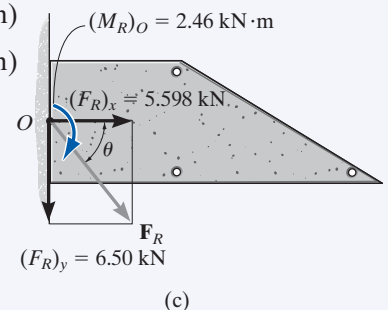
**Suma de momentos.** Los momentos de 3 kN y 5 kN con respecto al punto  $O$  se determinarán mediante el uso de sus componentes  $x$  y  $y$ . Con referencia a la figura 4-37b, tenemos

$$\zeta + (M_R)_O = \Sigma M_O;$$

$$\begin{aligned} (M_R)_O &= (3 \text{ kN})\sin 30^\circ(0.2 \text{ m}) - (3 \text{ kN})\cos 30^\circ(0.1 \text{ m}) + \left(\frac{3}{5}\right)(5 \text{ kN})(0.1 \text{ m}) \\ &\quad - \left(\frac{4}{5}\right)(5 \text{ kN})(0.5 \text{ m}) - (4 \text{ kN})(0.2 \text{ m}) \\ &= -2.46 \text{ kN} \cdot \text{m} = 2.46 \text{ kN} \cdot \text{m} \curvearrowright \quad \text{Resp.} \end{aligned}$$

Este momento en el sentido de las manecillas del reloj se muestra en la figura 4-37c.

**NOTA:** observe que la fuerza y el momento de par resultantes en la figura 4.37c producirán los mismos efectos externos o reacciones en los apoyos que los producidos por el sistema de fuerzas, figura 4-37a.



## EJEMPLO 4.15

Reemplace el sistema de fuerza y par que actúa sobre el elemento de la figura 4-38a por una fuerza y un momento de par equivalentes que actúen en el punto  $O$ .

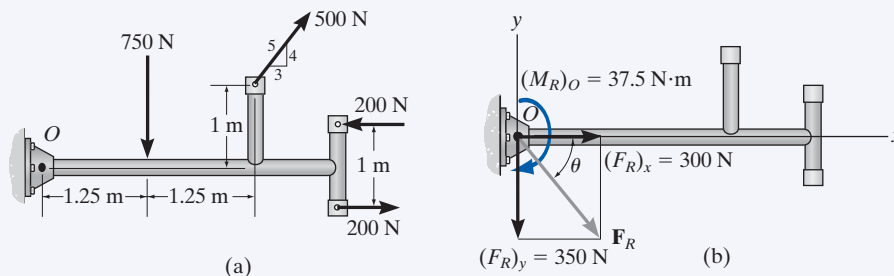


Fig. 4-38

## SOLUCIÓN

**Suma de fuerzas.** Como las fuerzas del par son de 200 N e iguales pero opuestas, producen una fuerza resultante nula, por lo tanto no es necesario considerarlas en la sumatoria de fuerzas. La fuerza de 500 N se descompone en sus componentes  $x$  y  $y$ , por tanto,

$$\rightarrow (F_R)_x = \Sigma F_x; (F_R)_x = \left(\frac{3}{5}\right)(500 \text{ N}) = 300 \text{ N} \rightarrow$$

$$+\uparrow (F_R)_y = \Sigma F_y; (F_R)_y = (500 \text{ N})\left(\frac{4}{5}\right) - 750 \text{ N} = -350 \text{ N} = 350 \text{ N} \downarrow$$

A partir de la figura 4-15b, la magnitud de  $\mathbf{F}_R$  es

$$\begin{aligned} F_R &= \sqrt{(F_R)_x^2 + (F_R)_y^2} \\ &= \sqrt{(300 \text{ N})^2 + (350 \text{ N})^2} = 461 \text{ N} \end{aligned} \quad \text{Resp.}$$

Y el ángulo  $\theta$  es

$$\theta = \tan^{-1}\left(\frac{(F_R)_y}{(F_R)_x}\right) = \tan^{-1}\left(\frac{350 \text{ N}}{300 \text{ N}}\right) = 49.4^\circ \quad \text{Resp.}$$

**Suma de momentos.** Como el momento de par es un vector libre, puede actuar en cualquier punto del elemento. Con referencia a la figura 4-38a, tenemos

$$\begin{aligned} \curvearrowright + (M_R)_O &= \Sigma M_O + \Sigma M_c; \\ (M_R)_O &= (500 \text{ N})\left(\frac{4}{5}\right)(2.5 \text{ m}) - (500 \text{ N})\left(\frac{3}{5}\right)(1 \text{ m}) \\ &\quad - (750 \text{ N})(1.25 \text{ m}) + 200 \text{ N}\cdot\text{m} \\ &= -37.5 \text{ N}\cdot\text{m} = 37.5 \text{ N}\cdot\text{m} \curvearrowright \end{aligned} \quad \text{Resp.}$$

Este momento en el sentido de las manecillas del reloj se muestra en la figura 4-38b.

**EJEMPLO 4.16**

El elemento estructural está sometido al momento de un par  $\mathbf{M}$  y a las fuerzas  $\mathbf{F}_1$  y  $\mathbf{F}_2$  como se muestra en la figura 4-39a. Reemplace este sistema por una fuerza resultante equivalente y el momento de un par que actúen en su base, es decir el punto  $O$ .

**SOLUCIÓN (ANÁLISIS VECTORIAL)**

Los aspectos tridimensionales del problema pueden simplificarse mediante un análisis vectorial cartesiano. Al expresar las fuerzas y el momento de par como vectores cartesianos tenemos

$$\mathbf{F}_1 = \{-800\mathbf{k}\} \text{ N}$$

$$\mathbf{F}_2 = (300 \text{ N})\mathbf{u}_{CB}$$

$$= (300 \text{ N})\left(\frac{\mathbf{r}_{CB}}{r_{CB}}\right)$$

$$= 300 \text{ N} \left[ \frac{\{-0.15\mathbf{i} + 0.1\mathbf{j}\} \text{ m}}{\sqrt{(-0.15 \text{ m})^2 + (0.1 \text{ m})^2}} \right] = \{-249.6\mathbf{i} + 166.4\mathbf{j}\} \text{ N}$$

$$\mathbf{M} = -500\left(\frac{4}{5}\right)\mathbf{j} + 500\left(\frac{3}{5}\right)\mathbf{k} = \{-400\mathbf{j} + 300\mathbf{k}\} \text{ N} \cdot \text{m}$$

**Suma de fuerzas.**

$$\begin{aligned} \mathbf{F}_R &= \Sigma \mathbf{F}; \quad \mathbf{F}_R = \mathbf{F}_1 + \mathbf{F}_2 = -800\mathbf{k} - 249.6\mathbf{i} + 166.4\mathbf{j} \\ &= \{-250\mathbf{i} + 166\mathbf{j} - 800\mathbf{k}\} \text{ N} \end{aligned}$$

**Resp.****Suma de momentos.**

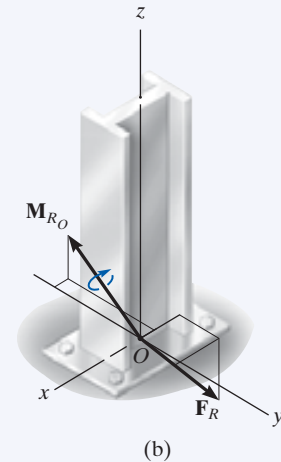
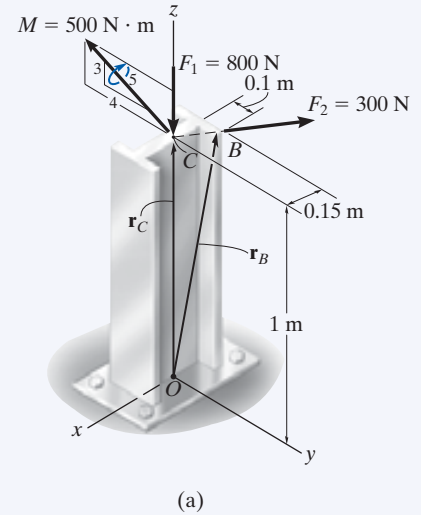
$$\mathbf{M}_{R_O} = \Sigma \mathbf{M} + \Sigma \mathbf{M}_O$$

$$\mathbf{M}_{R_O} = \mathbf{M} + \mathbf{r}_C \times \mathbf{F}_1 + \mathbf{r}_B \times \mathbf{F}_2$$

$$\begin{aligned} \mathbf{M}_{R_O} &= (-400\mathbf{j} + 300\mathbf{k}) + (1\mathbf{k}) \times (-800\mathbf{k}) + \begin{vmatrix} \mathbf{i} & \mathbf{j} & \mathbf{k} \\ -0.15 & 0.1 & 1 \\ -249.6 & 166.4 & 0 \end{vmatrix} \\ &= (-400\mathbf{j} + 300\mathbf{k}) + (\mathbf{0}) + (-166.4\mathbf{i} - 249.6\mathbf{j}) \\ &= \{-166\mathbf{i} - 650\mathbf{j} + 300\mathbf{k}\} \text{ N} \cdot \text{m} \end{aligned}$$

**Resp.**

Los resultados se muestran en la figura 4-39b.

**Fig. 4-39**